

Starkniederschlagshöhen und -spenden gemäß KOSTRA-DWD-2020

Rasterfeld 149121

(Zeile 149, Spalte 121)

Regenspende und Bemessungsniederschlagswerte in Abhängigkeit von Wiederkehrzeit T und Dauerstufe D

| Dauerstufe D | | Wiederkehrzeit T | | | | | | | | | | | | | | | | | |
|--------------|-----|------------------|------------|------|------------|------|------------|------|------------|------|------------|-------|------------|-------|------------|-------|------------|-------|------------|
| | | 1 a | | 2 a | | 3 a | | 5 a | | 10 a | | 20 a | | 30 a | | 50 a | | 100 a | |
| min | Std | mm | l / (s ha) | mm | l / (s ha) | mm | l / (s ha) | mm | l / (s ha) | mm | l / (s ha) | mm | l / (s ha) | mm | l / (s ha) | mm | l / (s ha) | mm | l / (s ha) |
| 5 | | 7,0 | 233,3 | 8,5 | 283,3 | 9,4 | 313,3 | 10,7 | 356,7 | 12,5 | 416,7 | 14,3 | 476,7 | 15,5 | 516,7 | 17,1 | 570,0 | 19,3 | 643,3 |
| 10 | | 9,0 | 150,0 | 11,0 | 183,3 | 12,2 | 203,3 | 13,8 | 230,0 | 16,1 | 268,3 | 18,4 | 306,7 | 20,0 | 333,3 | 22,0 | 366,7 | 24,9 | 415,0 |
| 15 | | 10,3 | 114,4 | 12,5 | 138,9 | 13,9 | 154,4 | 15,7 | 174,4 | 18,3 | 203,3 | 21,0 | 233,3 | 22,8 | 253,3 | 25,1 | 278,9 | 28,4 | 315,6 |
| 20 | | 11,2 | 93,3 | 13,6 | 113,3 | 15,1 | 125,8 | 17,1 | 142,5 | 20,0 | 166,7 | 22,9 | 190,8 | 24,8 | 206,7 | 27,4 | 228,3 | 31,0 | 258,3 |
| 30 | | 12,6 | 70,0 | 15,3 | 85,0 | 17,0 | 94,4 | 19,2 | 106,7 | 22,4 | 124,4 | 25,7 | 142,8 | 27,9 | 155,0 | 30,7 | 170,6 | 34,8 | 193,3 |
| 45 | | 14,0 | 51,9 | 17,1 | 63,3 | 19,0 | 70,4 | 21,5 | 79,6 | 25,1 | 93,0 | 28,8 | 106,7 | 31,2 | 115,6 | 34,4 | 127,4 | 38,9 | 144,1 |
| 60 | 1 | 15,2 | 42,2 | 18,5 | 51,4 | 20,5 | 56,9 | 23,2 | 64,4 | 27,1 | 75,3 | 31,0 | 86,1 | 33,7 | 93,6 | 37,1 | 103,1 | 42,0 | 116,7 |
| 90 | 1,5 | 16,8 | 31,1 | 20,5 | 38,0 | 22,8 | 42,2 | 25,8 | 47,8 | 30,1 | 55,7 | 34,5 | 63,9 | 37,4 | 69,3 | 41,2 | 76,3 | 46,7 | 86,5 |
| 120 | 2 | 18,1 | 25,1 | 22,1 | 30,7 | 24,5 | 34,0 | 27,8 | 38,6 | 32,4 | 45,0 | 37,2 | 51,7 | 40,3 | 56,0 | 44,4 | 61,7 | 50,3 | 69,9 |
| 180 | 3 | 20,1 | 18,6 | 24,5 | 22,7 | 27,2 | 25,2 | 30,8 | 28,5 | 35,9 | 33,2 | 41,2 | 38,1 | 44,7 | 41,4 | 49,2 | 45,6 | 55,7 | 51,6 |
| 240 | 4 | 21,6 | 15,0 | 26,3 | 18,3 | 29,3 | 20,3 | 33,1 | 23,0 | 38,6 | 26,8 | 44,3 | 30,8 | 48,0 | 33,3 | 52,9 | 36,7 | 59,9 | 41,6 |
| 360 | 6 | 23,9 | 11,1 | 29,2 | 13,5 | 32,4 | 15,0 | 36,6 | 16,9 | 42,8 | 19,8 | 49,1 | 22,7 | 53,2 | 24,6 | 58,6 | 27,1 | 66,4 | 30,7 |
| 540 | 9 | 26,5 | 8,2 | 32,3 | 10,0 | 35,8 | 11,0 | 40,5 | 12,5 | 47,3 | 14,6 | 54,3 | 16,8 | 58,9 | 18,2 | 64,8 | 20,0 | 73,4 | 22,7 |
| 720 | 12 | 28,5 | 6,6 | 34,7 | 8,0 | 38,5 | 8,9 | 43,6 | 10,1 | 50,8 | 11,8 | 58,3 | 13,5 | 63,2 | 14,6 | 69,7 | 16,1 | 78,9 | 18,3 |
| 1080 | 18 | 31,5 | 4,9 | 38,3 | 5,9 | 42,6 | 6,6 | 48,2 | 7,4 | 56,2 | 8,7 | 64,5 | 10,0 | 69,9 | 10,8 | 77,1 | 11,9 | 87,3 | 13,5 |
| 1440 | 24 | 33,8 | 3,9 | 41,2 | 4,8 | 45,8 | 5,3 | 51,8 | 6,0 | 60,4 | 7,0 | 69,3 | 8,0 | 75,1 | 8,7 | 82,8 | 9,6 | 93,7 | 10,8 |
| 2880 | 48 | 40,2 | 2,3 | 48,9 | 2,8 | 54,3 | 3,1 | 61,5 | 3,6 | 71,7 | 4,1 | 82,3 | 4,8 | 89,2 | 5,2 | 98,3 | 5,7 | 111,3 | 6,4 |
| 4320 | 72 | 44,4 | 1,7 | 54,1 | 2,1 | 60,1 | 2,3 | 68,0 | 2,6 | 79,3 | 3,1 | 91,0 | 3,5 | 98,7 | 3,8 | 108,7 | 4,2 | 123,1 | 4,7 |
| 5760 | 96 | 47,7 | 1,4 | 58,1 | 1,7 | 64,5 | 1,9 | 73,0 | 2,1 | 85,2 | 2,5 | 97,7 | 2,8 | 106,0 | 3,1 | 116,7 | 3,4 | 132,2 | 3,8 |
| 7200 | 120 | 50,4 | 1,2 | 61,4 | 1,4 | 68,2 | 1,6 | 77,1 | 1,8 | 90,0 | 2,1 | 103,3 | 2,4 | 112,0 | 2,6 | 123,4 | 2,9 | 139,7 | 3,2 |
| 8640 | 144 | 52,7 | 1,0 | 64,2 | 1,2 | 71,3 | 1,4 | 80,7 | 1,6 | 94,2 | 1,8 | 108,1 | 2,1 | 117,2 | 2,3 | 129,1 | 2,5 | 146,2 | 2,8 |
| 10080 | 168 | 54,8 | 0,9 | 66,7 | 1,1 | 74,1 | 1,2 | 83,8 | 1,4 | 97,8 | 1,6 | 112,3 | 1,9 | 121,7 | 2,0 | 134,1 | 2,2 | 151,8 | 2,5 |

Starkniederschlagshöhen und -spenden gemäß KOSTRA-DWD-2020

Rasterfeld 149121

(Zeile 149, Spalte 121)

Örtliche Unsicherheiten in Abhängigkeit von Wiederkehrzeit T und Dauerstufe D

| Dauerstufe D | | Wiederkehrzeit T | | | | | | | | |
|--------------|-----|------------------|-----|-----|-----|------|------|------|------|-------|
| | | 1 a | 2 a | 3 a | 5 a | 10 a | 20 a | 30 a | 50 a | 100 a |
| min | Std | ± % | ± % | ± % | ± % | ± % | ± % | ± % | ± % | ± % |
| 5 | | 11 | 12 | 13 | 13 | 14 | 15 | 15 | 15 | 16 |
| 10 | | 14 | 16 | 16 | 17 | 18 | 19 | 19 | 20 | 20 |
| 15 | | 16 | 18 | 18 | 19 | 20 | 21 | 21 | 22 | 22 |
| 20 | | 17 | 18 | 19 | 20 | 21 | 22 | 22 | 23 | 23 |
| 30 | | 17 | 19 | 20 | 21 | 22 | 23 | 23 | 24 | 24 |
| 45 | | 17 | 19 | 20 | 21 | 22 | 23 | 23 | 24 | 24 |
| 60 | 1 | 17 | 19 | 20 | 20 | 22 | 22 | 23 | 23 | 24 |
| 90 | 1,5 | 16 | 18 | 19 | 20 | 21 | 22 | 22 | 23 | 23 |
| 120 | 2 | 15 | 17 | 18 | 19 | 20 | 21 | 22 | 22 | 23 |
| 180 | 3 | 14 | 16 | 17 | 18 | 19 | 20 | 20 | 21 | 21 |
| 240 | 4 | 14 | 15 | 16 | 17 | 18 | 19 | 20 | 20 | 21 |
| 360 | 6 | 13 | 14 | 15 | 16 | 17 | 18 | 19 | 19 | 20 |
| 540 | 9 | 12 | 14 | 14 | 15 | 16 | 17 | 17 | 18 | 18 |
| 720 | 12 | 12 | 13 | 14 | 15 | 16 | 16 | 17 | 17 | 18 |
| 1080 | 18 | 11 | 12 | 13 | 14 | 15 | 15 | 16 | 16 | 17 |
| 1440 | 24 | 11 | 12 | 13 | 13 | 14 | 15 | 15 | 16 | 16 |
| 2880 | 48 | 11 | 12 | 12 | 13 | 13 | 14 | 14 | 15 | 15 |
| 4320 | 72 | 12 | 12 | 13 | 13 | 13 | 14 | 14 | 14 | 15 |
| 5760 | 96 | 13 | 13 | 13 | 13 | 14 | 14 | 14 | 14 | 15 |
| 7200 | 120 | 13 | 13 | 13 | 13 | 14 | 14 | 14 | 14 | 15 |
| 8640 | 144 | 14 | 14 | 14 | 14 | 14 | 14 | 14 | 15 | 15 |
| 10080 | 168 | 15 | 14 | 14 | 14 | 14 | 14 | 15 | 15 | 15 |

Parameter für abweichende T und D

Lokationsparameter ξ (Xi)

15,41444348

Skalenparameter α (Alpha)

4,67012869

Formparameter κ (Kappa)

-0,1

1. Koutsoyiannis-Parameter θ (Theta)

0,02214779

2. Koutsoyiannis-Parameter η (Eta)

0,75235674

Parameter für dauerstufenübergreifende Extremwertschätzung nach KOUTSOYIANNIS et al. 1998.

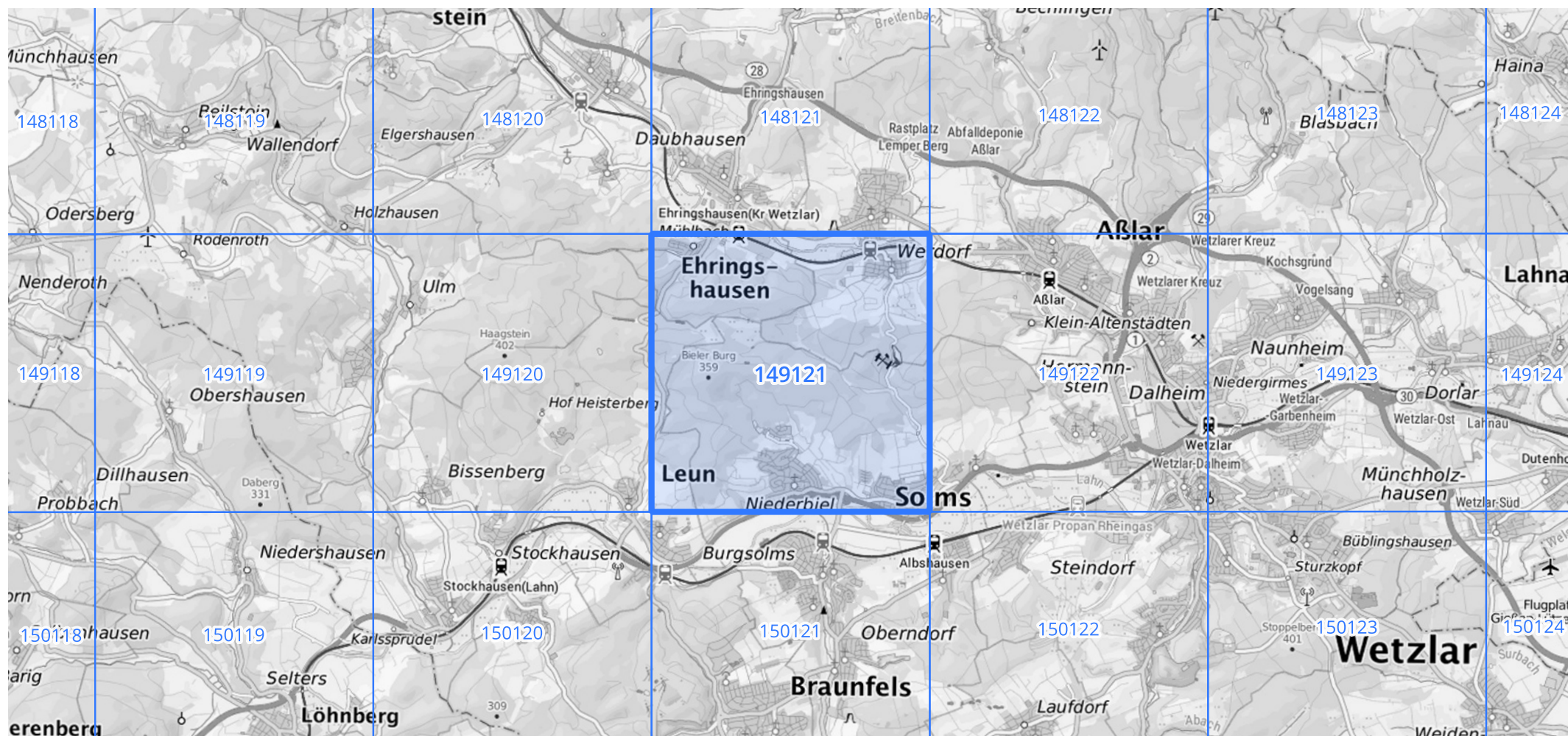
Siehe auch Anwendungshilfe zu KOSTRA-DWD-2020 des Deutschen Wetterdienstes.

Starkniederschlagshöhen und -spenden gemäß KOSTRA-DWD-2020

Rasterfeld 149121

(Zeile 149, Spalte 121)

Übersichtskarte des Rasterfeldes 149121, M 1 : 100 000



Quelle Rasterdaten: KOSTRA-DWD-2020 des Deutschen Wetterdienstes, Stand 12/2022.

Seite 3 von 3

Kartendarstellung: © Bundesamt für Kartographie und Geodäsie (2023), Datenquellen: https://sgx.geodatenzentrum.de/web_public/gdz/datenquellen/Datenquellen_TopPlusOpen.html

Für die Richtigkeit und Aktualität der Angaben wird keine Gewähr übernommen. Erstellt 01/2023.